

# Etude du système de Lorenz

---

Guillaume de Crény Vives, Hugo Ruys-Arnaudet, Timothé Xiong, Celia Maréchal

June 10, 2025

Université de Toulouse

# Introduction

- Années 1960 : Edward Lorenz (MIT)
  - Étude des échanges océan/atmosphère (Equations de Navier-Stokes)
  - Équations de Saltzman
  - Système de Lorenz (1963) : modèle simplifié - étude numérique

$$\begin{cases} x' = \sigma(y - x) \\ y' = x(\rho - z) - y \\ z' = xy - \beta z \end{cases} \quad (1)$$

- Observation : Forte sensibilité aux données initiales
  - ~~ Naissance de la théorie du Chaos (conférence de 1972)

**Notre objectif :** Étude mathématique et numérique du système

# Résultat de départ pour l'étude de solutions

- Hypothèse de départ :  $\sigma > 0, \rho > 0, \beta > 0$   
→ Cohérence avec le contexte physique et calculs plus simples

Jeu de données utilisé en pratique :

$$\sigma = 10, \rho = 28, \beta = \frac{8}{3}$$

- Résultat de départ :

## Théorème

Soit  $t_0 \in \mathbb{R}$  et  $(x_0, y_0, z_0) \in \mathbb{R}^3$ . Il existe une unique solution globale au système de Lorenz vérifiant  $u(t_0) = (x_0, y_0, z_0)$

Ce que cela signifie :

1. Pour chaque condition initiale : une seule trajectoire
2. Solution globale : pas d'explosion en temps fini et connaissance de **tout** le futur

## Grandes lignes de la démonstration : existence et unicité

Le système de Lorenz s'écrit sous la forme  $u' = f(u)$  avec :

$$f : \mathbb{R}^3 \longrightarrow \mathbb{R}^3 : (x, y, z) \mapsto \begin{cases} \sigma(y - x) \\ x(\rho - z) - y \\ xy - \beta z \end{cases}$$

- Fonction polynomiale donc  $\mathcal{C}^1$ .  
→ **conséquence** :  $f$  est localement Lipschitzienne.
- **Théorème de Cauchy-Lipschitz** : Existence locale d'une **unique solution** au système de Lorenz
  - ☞ Il existe  $T > 0$  et  $u \in \mathcal{C}^1([0, T], \mathbb{R}^3)$  qui satisfait le système de Lorenz sur  $[0, T]$
  - ☞ Toute autre solution  $v$  coïncide avec  $u$  sur  $[0, T]$

## Grandes lignes de la démonstration : globalité

- On montre que  $u$  est uniformément bornée sur  $[0, T]$ .  
→ Application du Lemme de Grönwall avec la fonction  $t \mapsto \|u(t)\|_2^2$

$$\begin{aligned}\frac{d}{dt} \|u(t)\|_2^2 &= -2\sigma x^2 - 2y^2 - 2\beta z^2 + (\sigma + \rho)xy \\ &\leq (\rho - \sigma)x^2 + (\sigma + \rho - 2)y^2 - 2\beta z^2\end{aligned}$$

On a utilisé que pour tout  $(x, y) \in \mathbb{R}^2$ ,  $xy \leq \frac{1}{2}(x^2 + y^2)$ .

En posant  $C = \max(\rho - \sigma; \sigma + \rho - 2; -2\beta)$  :

$$\frac{d}{dt} \|u(t)\|_2^2 \leq C \cdot \|u(t)\|_2^2$$

Par le lemme de Grönwall : Pour tout  $t \in [0, T]$   $\|u(t)\|_2 \leq K \cdot e^{CT/2}$

**Cette majoration est valable pour tout  $T > 0$**

**Conclusion** : La solution est globale,  $I = [0, +\infty[$

## Determination des points stationnaires

Le point  $(x, y, z)$  est stationnaire si  $f(x, y, z) = 0$

$$\begin{cases} \sigma(y - x) = 0 \\ x(\rho - z) - y = 0 \\ xy - \beta z = 0 \end{cases} \quad (2)$$

- Solution triviale  $(x_0, y_0, z_0) = (0, 0, 0)$  dans tous les cas.

$$\begin{cases} \sigma(y - x) = 0 \\ x(\rho - z) - y = 0 \\ xy - \beta z = 0 \end{cases} \Rightarrow \begin{cases} y = x \\ z = \rho - 1 \\ x = \pm\sqrt{\beta(\rho - 1)} \end{cases} \quad \text{si } \rho - 1 \geq 0 \quad (3)$$

Alors  $(x, y, z) = (\sqrt{\beta(\rho - 1)}, \sqrt{\beta(\rho - 1)}, \rho - 1)$  et  
 $(x, y, z) = (-\sqrt{\beta(\rho - 1)}, -\sqrt{\beta(\rho - 1)}, \rho - 1)$  sont aussi points stationnaires du système lorsque  $\rho \geq 1$ .

# Linéarisation du système de Lorenz

- Développement de Taylor de  $f$  au point  $u_\infty$  :

$$f(u) = \nabla f(u_\infty)u + o(\|u\|)$$

On étudie le système linéarisé :  $f(u) = \nabla f(u_\infty)u$

$$\begin{cases} \sigma(y-x) \\ x(\rho-z)-y \\ xy-\beta z \end{cases} \Rightarrow J = \begin{pmatrix} -\sigma & \sigma & 0 \\ \rho-z & -1 & -x \\ y & x & -\beta \end{pmatrix} \quad (4)$$

- On va s'intéresser au point  $(0,0,0)$ , ce qui revient à étudier la matrice :

$$J_0 = \begin{pmatrix} -\sigma & \sigma & 0 \\ \rho & -1 & 0 \\ 0 & 0 & -\beta \end{pmatrix} \quad (5)$$

## Etude linéaire du point stationnaire (0,0,0)

$$J_0 = \begin{pmatrix} -\sigma & \sigma & 0 \\ \rho & -1 & 0 \\ 0 & 0 & -\beta \end{pmatrix} \quad (6)$$

- **Stabilité asymptotique** si la solution du système linéarisé converge.

Cela a lieu si :  $\Re(\lambda_1) < 0$ ,  $\Re(\lambda_2) < 0$  et  $\Re(\lambda_3) < 0$

- On cherche les valeurs propres, les  $\lambda$  tels que :

$$\det(J_0 - \lambda I) = 0$$

$$\lambda_1 = \frac{-(\sigma + 1) + \sqrt{(\sigma + 1)^2 + 4\sigma(\rho - 1)}}{2} < 0 \Rightarrow \boxed{\rho < 1}$$

$$\lambda_2 = \frac{-(\sigma + 1) - \sqrt{(\sigma + 1)^2 + 4\sigma(\rho - 1)}}{2} < 0 \checkmark$$

$$\lambda_3 = -\beta. < 0 \checkmark$$

- Conclusion : Stabilité linéaire asymptotique si  $\rho < 1$

# Discrétisation et Méthode d'Euler Explicite

**BUT : approcher les valeurs de la solution du système sur un intervalle  $[a, b]$**

*Stratégie : discréteriser l'intervalle  $[a, b]$*

- $N \in \mathbb{N}^*$  est le nombre total de points dans la discrétisation
- $h > 0$  : pas de discrétisation
- Pour  $n \in \{0, \dots, N\}$ , on pose  $t_n = t_0 + nh$  ( $t_0 := a$  et  $t_N = b$ )
- On note  $y_n$  l'approximation de  $y(t_n)$ .

Où  $y$  est la solution du problème de Cauchy:

$$\begin{cases} \frac{dy}{dt} = f(t, y) \\ y(t_0) = y_0 \end{cases} \quad (7)$$

**Méthode d'Euler Explicite:**

$$y_{n+1} = y_n + hf(t_n, y_n)$$

Méthode	Ordre	Erreur
Euler explicite	1	$\mathcal{O}(h)$

# Méthode Runge-Kutta 4 (RK4)

Pour résoudre le problème de Cauchy :

$$\begin{cases} \frac{dy}{dt} = f(t, y) \\ y(t_0) = y_0 \end{cases} \quad (8)$$

**Runge-Kutta 4:**

$$y_{n+1} = y_n + \frac{h}{6}(k_1 + 2k_2 + 2k_3 + k_4)$$

## Valeurs des k

$$k_1 = f(t_n, y_n)$$

$$k_2 = f\left(t_n + \frac{h}{2}, y_n + \frac{h}{2}k_1\right)$$

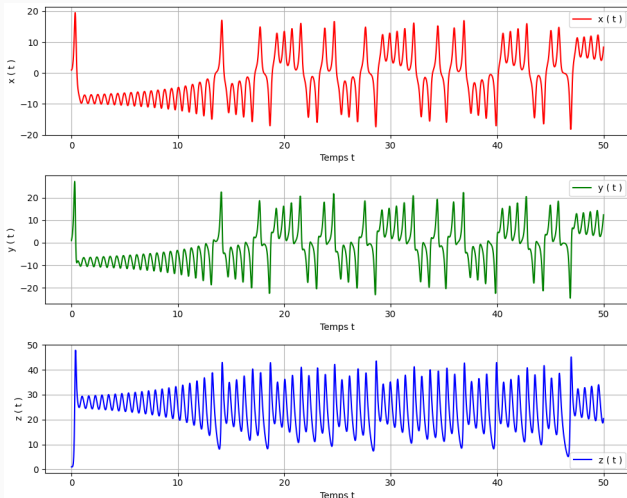
$$k_3 = f\left(t_n + \frac{h}{2}, y_n + \frac{h}{2}k_2\right)$$

$$k_4 = f(t_n + h, y_n + hk_3)$$

Méthode	Ordre	Erreur
RK4	4	$\mathcal{O}(h^4)$

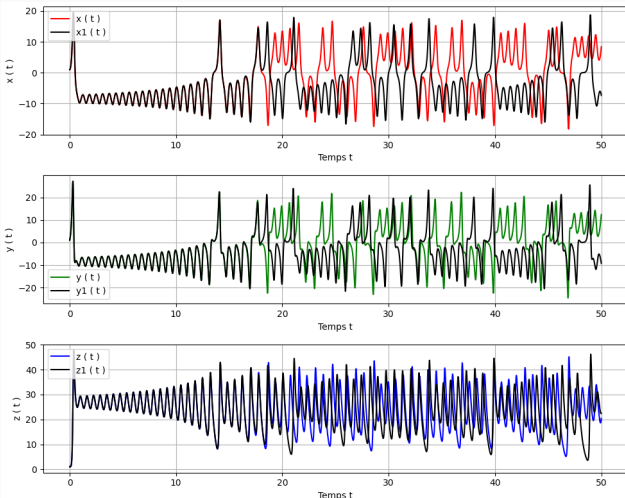
# Comportement chaotique

- Nos conditions initiales usuelles :  $(x_0, y_0, z_0) = (1, 1, 1)$ , les paramètres  $(\sigma, \rho, \beta) = (10, 28, 8/3)$  et le pas  $h = 0.01$



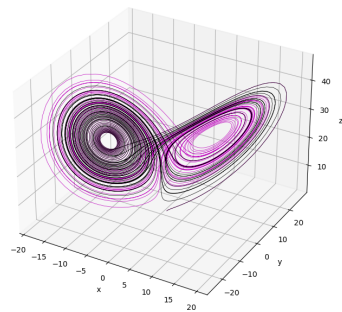
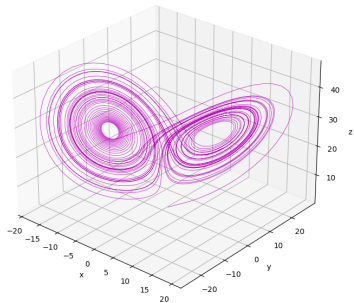
# Comportement chaotique

- Changement de conditions initiales,  $(x_0, y_0, z_0) = (1.001, 1.001, 1.001)$  et les paramètres  $(\sigma, \rho, \beta) = (10, 28, 8/3)$



# Comportement chaotique

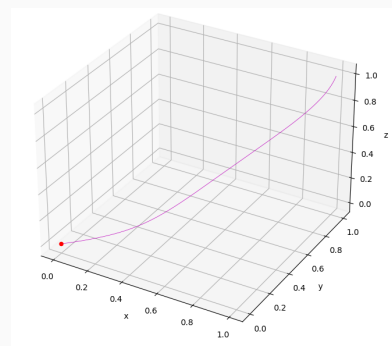
- Représentation en 3 dimension de l'évolution de ce système, avec nos conditions initiales usuelles.



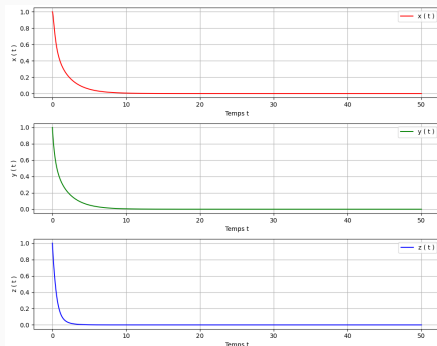
- Exemple illustrant le phénomène de chaos déterministe.

# Variation de $\rho$

- Pour toutes les représentations suivantes nous prendrons nos conditions initiales usuelles définies précédemment et feront varier uniquement la valeur de  $\rho$  afin de vérifier nos résultats théoriques sur la stabilité du point stationnaire  $(0,0,0)$ .

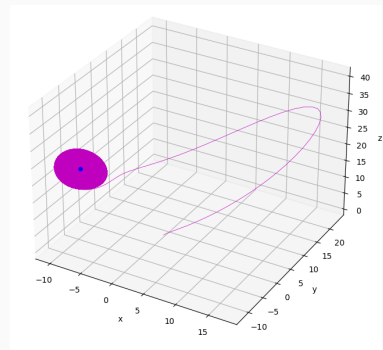


**Figure 1:** Système de Lorenz en 3d avec  $\rho = 1/2$

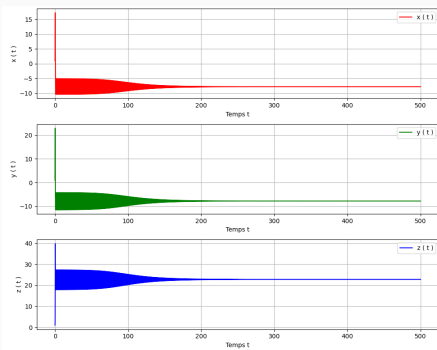


**Figure 2:**  $x(t), y(t)$  et  $z(t)$  du Système de Lorenz avec  $\rho = 1/2$

# Variation de $\rho$



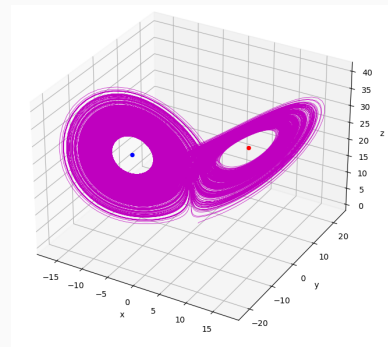
**Figure 3:** Système de Lorenz en 3d avec  $\rho = 23.78$



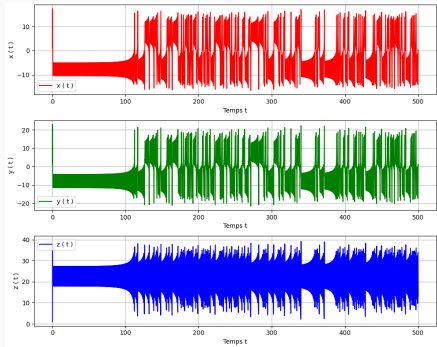
**Figure 4:**  $x(t), y(t)$  et  $z(t)$  du Système de Lorenz avec  $\rho = 23.78$

- Convergence en temps très longs vers le point  $(-\sqrt{\beta(\rho-1)}, -\sqrt{\beta(\rho-1)}, \rho-1)$  et plus vers  $(0,0,0)$
- Cas "limite"

# Variation de $\rho$



**Figure 5:** Système de Lorenz en 3d avec  $\rho = 23.79$

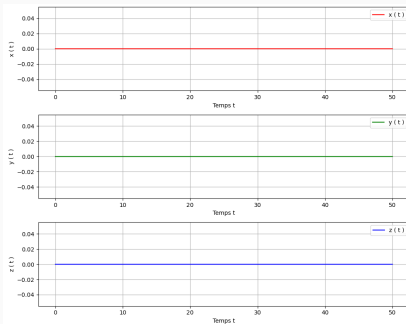


**Figure 6:**  $x(t), y(t)$  et  $z(t)$  du Système de Lorenz avec  $\rho = 23.79$

- Cas "limite" entre la stabilité asymptotique de ce point et une stabilité non asymptotique autour des deux points  $(\sqrt{\beta(\rho-1)}, \sqrt{\beta(\rho-1)}, \rho-1)$  et  $(-\sqrt{\beta(\rho-1)}, -\sqrt{\beta(\rho-1)}, \rho-1)$ .

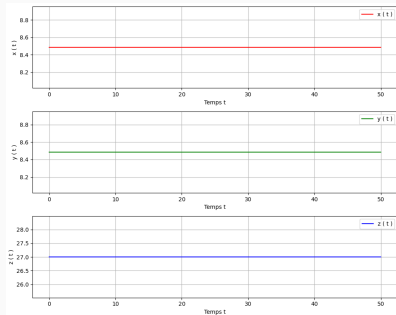
# Vérification des points stationnaires

- Nous choisissons les mêmes paramètres  $(\sigma, \rho, \beta) = (10, 28, 8/3)$ . Puis nous allons représenter l'évolution de  $x$ ,  $y$  et  $z$  avec nos 3 points stationnaires théoriques comme conditions initiales  $x_0, y_0, z_0$ .

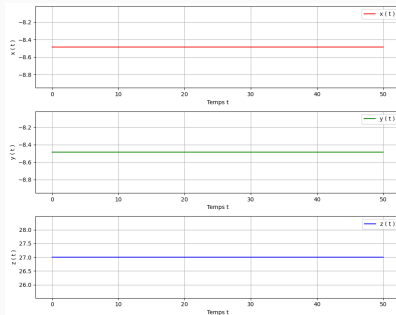


**Figure 7:**  $x(t), y(t)$  et  $z(t)$  du Système de Lorenz avec  $(x_0, y_0, z_0) = (0, 0, 0)$

# Vérification des points stationnaires



**Figure 8:**  $x(t), y(t)$  et  $z(t)$  du Système de Lorenz avec  $(x_0, y_0, z_0) = (\sqrt{\beta(\rho-1)}, \sqrt{\beta(\rho-1)}, \rho-1)$



**Figure 9:**  $x(t), y(t)$  et  $z(t)$  du Système de Lorenz avec  $(x_0, y_0, z_0) = (-\sqrt{\beta(\rho-1)}, -\sqrt{\beta(\rho-1)}, \rho-1)$

- L'application de la méthode Runge-Kutta 4 nous permet de vérifier nos résultats théoriques graphiquement ici.

# Conclusion

- Existence d'une solution
- Etude qualitative de cette solution:
  - Points stationnaires
  - Stabilité linéaire du point  $(0,0,0)$
- Etude numérique:
  - Méthode de Runge-Kutta 4
  - Chaos Déterministe: grande sensibilité aux conditions initiales
  - Illustration des résultats théoriques
- Introduction de la théorie du Chaos